ЭЛЕКТРОННОЕ СТРОЕНИЕ СОЕДИНЕНИЯ NDVO₃: РЕНТГЕНОВСКИЕ СПЕКТРЫ И ЗОННЫЕ РАСЧЕТЫ В ЛППВ-ПРИБЛИЖЕНИИ

<u>Щербатей А. М.</u> *, Уваров В. Н., Сенкевич А. И.

Институт Металлофизики им. Курдюмова НАН Украины, бульв. Вернадского 36, Киев, 03680 ГСП Украина * Факс: 38 (044) 424 25 61, E-mail: alex sch@imp.kiev.ua

Введение

Сложные оксилы содержащие ванадия. редкоземельные элементы. обладают интересными с научной и практической точек зрения физико-химическими свойствами. Соединения общей формулой c LnVO₃ (Ln=La...Lu, Y) имеют перовскитоподобную структуру (рис. 1). Они демонстрируют полупроводниковую зависимость электросопротивления со сравнительно небольшими значениями (порядка нескольких десятых электронвольт) энергий активации проводимости, при этом, однако, испытывают фазовый переход полупроводник-металл.

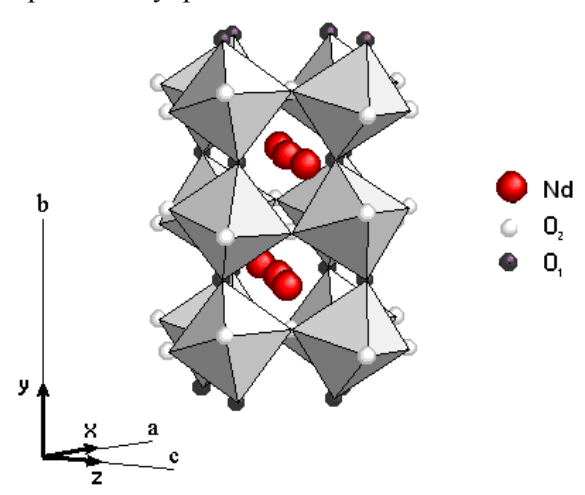


Рис. 1. Фрагмент структуры соединения NdVO₃

Электронная структура этих веществ, несомненно, является ключом к объяснению их физико-химических свойств. Целью настоящей работы является исследование электронного строения представителя упомянутого ряда оксидов – ванадита NdVO₃. Для решения этой задачи использован комплексный подход, основанный на как рентгеноэлектронных и рентгенофлуоресцентных измерениях с применением теоретического зонного расчета электронного строения ванадита В приближении.

Результаты и обсуждение

Кристаллическая решетка ванадита $NdVO_3$ относится к орторомбической сингонии и характеризуется пространственной группой

Рпта (№ 62), ее фрагмент изображен на рис. 1. Постоянные орторомбической ячейки и координаты неэквивалентных атомов в долях соответствующих ребер ячейки, использованные при его построении, имели следующие значения: a=5.58 Å, b=7.762 Å и c=5.461 Å; Nd $(0.552, 0.25, 0.487), V <math>(0.5, 0.0, 0.0), O_1 (0.979, 0.25, 0.585), O_2 (0.796, 0.048, 0.202) [1].$

На рисунке 2 приведены рентгеноэлектронный спектр валентных электронов ванадита NdVO₃ и кривые его электронных плотностей, полученные в результате зонного расчета электронной структуры в ЛППВ- прибли [2] с градиентной аппроксимаци ей электронной плотности (GGA-generalized gradient approximation) в форме [3]. Для расчета полной и парциальных плотностей состояний оксида NdVO₃ использован спинполяризованный вариант LAPW-метода [4], спин-орбитальные учитывающий взаимодействия на всех атомах ванадита NdVO3 и корреляции Nd4f- и V3d- электронов в формализме LDA+U(AMF) [5].

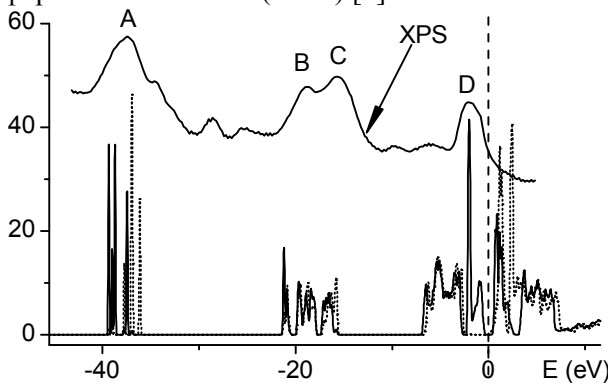


Рис. 2. Рентгеноэлектронный спектр (XPS) и рассчетная плотность электронных состояний $NdVO_3$

Совмещение кривой плотности состояний с экспериментально полученным спектром осуществлено по компоненту А, кото рый соответствует 5s-состояниям неодима. Рентгеноэлектронный спектр при этом оказался смещенным на 3.38 эВ в сторону меньших значений энергий связи электронов.

Пик A (-37.4 эВ) соответствует группе линий в расчетной плотности состояний, расположенных в интервале энергий от -38

до -36 эВ. Сюда входят электронные 5s-состояния неодима и 3p-состояния ванадия Два максимума В (-18.8 эВ) и С (-15.7 эВ) обязаны своим существованием Nd5p-O2s-состояниям. дизованным И Компонент D (-2.0 эВ) рентгеноэлектронного спектра отвечает 4f-состояниям неодима. Эти электроны хорошо локализованы и имеют большое сечение ионизации, от 2р-подуровней кислорода, вклад которых в экспериментальную кривую данной энергетической области невелик.

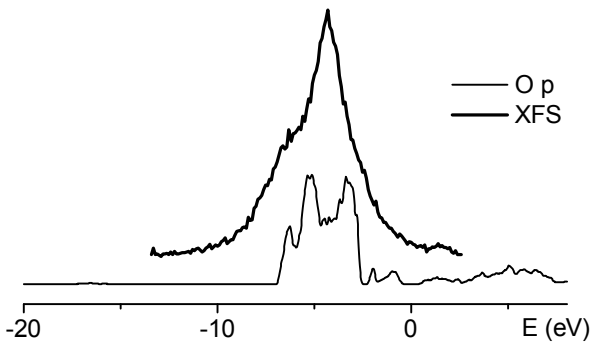


Рис 3. Рентгенофлуоресцентный $K\alpha$ — спектр кислорода (XFS) и расчетная плотность р-состояний кислорода в соединении $NdVO_3$

На рисунке 3 приведен экспериментальный рентгенофлуоресцентный Кα-спектр кислорода исследуемого соединения, а также электронная плотность р-состояний кислорода, полученная в ходе расчета. Как видно, особенности экспериментальной кривой хорошо согласуются с максимумами плотности состояний, что является свидетельством хорошего качества проведенных расчетов.

Согласно экспериментальным данным [6] энергия активации проводимости ванадита $NdVO_3$ имеет значение 0.25 эВ, что соответствует экспериментально определенной ширине запрещенной щели величиной 0.50 эВ. Таким образом наблюдается практическое совпадение этого значения с величиной запрещенной щели, полученной в результате расчета — 0.5 эВ. Как показал расчет, минимальная оптическая щель располагает ся в точке Γ зоны Бриллюэна, имеет корреляционную природу и доминирующий V3d - характер.

Расчет показал, что полный магнитный момент элементарной ячейки исследуемого оксида, включающей в себя по 4 атома неодима, ванадия и атомов кислорода первого типа и 8 атомов кислорода второго сорта, составляет 19.92 магнетона Бора (μ_B) . Распределение моментов магнитных сферах атомов оказалась таковым:

Nd- $2.92~\mu_B$, V- $1.49~\mu_B$, O₁- $0.0548~\mu_B$, O₂- $0.0540~\mu_B$. Часть магнитного момента локализована в области междусферья — на нее пришлось $1.63~\mu_B$. Подавляющий вклад в формирование магнитного момента на атомах неодима вносят его 4f- электроны. Весьма слаба роль в этом Nd5d-электронов, и она вовсе пренебрежима для его электронов s-и p- симметрии. Магнитный момент на атомах ванадия обеспечивается его поляризованными d- электронами.

Выводы

- 1. В ванадите $NdVO_3$ валентные электронные состояния атомов металлов поляризованы. У потолка валентной зоны локализованы V3d-и O2p- состояния, преимущественно отображающие слабые ковалентные химиические π связи атомов ванадия и кислоро да, расположенных вблизи плоскостей, параллельных кристаллографической плоскости (010).
- 2. Минимальная оптическая щель оксида $NdVO_3$ располагается в точке Γ зоны Бриллюэна, имеет корреляционную природу и доминирующий V3d характер.
- 3. Магнитные моменты в МТ- сферах атомов неодима и ванадия обусловлены в основном соответственно поляризацией электронов 4f- и 3d- оболочек.

Литература

- V.G. Zubkov, I. F. Berger, Z. M. Peshina, G. V. Bazuev, G. P. Shveikin, Neutrondiffraction study of the crystal structure of rare earth orthovanadites, 1988
- 2. Singh D. Plane waves, psedopotentials and LAPW method, Kluwer Academic, 1994.
- 3. Perdew J.P., Burke S. and Ernzerhof M., 1996. Phys.Rev.Let. 77, 3865.
- P.Blaha, K. Schwarz, G.K.Madsen, D.Kvasnicka and J.Luits, WIEN2k, An Augmented Plane Wave + Local Orbitals Program for Calculating Crystal Properties (Karlheinz Schwarz, Techn. Universität Wien, Austria), 2001. ISBN 3-9501031-1-2.
- 5. Czyzyk M.T. and Sawatzky G.A., Phys. Rev. B 49, 14211 (1994).
- 6. Г.В.Базуев, Г.П.Швейкин, Сложные окси ды элементов с достраивающимися d-и f- оболчками, М.: Наука, 1985.